

6  
B-17



Ван Шу-фень, Т.Вишки, И.М.Граменицкий, В.Г.Гришин,  
Н.Далхажав, Р.М.Лебедев, А.А.Номофилов,  
М.И.Подгорецкий, В.Н.Стрельцов

Р - 526

НЕУПРУГИЕ ВЗАИМОДЕЙСТВИЯ  
ПРОТОНОВ С НУКЛОНАМИ  
ПРИ ЭНЕРГИИ 9 БЭВ  
*ЖЭТФ, 1960, т39, в.4, с. 957-960.*

P - 526

Ван Шу-Фенъ, Т.Вишни, И.М.Граменицкий, В.Г.Гришин,  
Н.Далхажав, Р.М.Лебедев, А.А.Номофицов,  
М.И.Подгорецкий, В.Н.Стрельцов

НЕУПРУГИЕ ВЗАЙМОДЕЙСТВИЯ  
ПРОТОНОВ С НУКЛОНАМИ  
ПРИ ЭНЕРГИИ 8 БЭВ

Направлено в ЖЭТФ.



### А н н о т а ц и я

В работе показано, что угловые и импульсные распределения вторичных протонов и  $\pi$ -мезонов в  $(p-p)\sim$  и  $(p-\kappa)\sim$  взаимодействиях мало меняются с изменением числа заряженных частиц.

Van Shu-fen', T. Visky, I.M. Gramenitskij, V.G. Grishin, N. Dalkhazhav,  
R.M. Lebedev, A.A. Nomofilov, M.J. Podgoretskij, V.N. Streletsov

Изучение неупругих взаимодействий нуклон-нуклон при высоких энергиях [1] может, по-видимому, дать некоторые сведения о структуре нуклона. В работе были получены результаты, свидетельствующие о резкой анизотропии углового распределения вторичных нуклонов в системе центра инерции /с.ц.и./ и установлена нижняя граница доли энергии, идущей на образование  $\pi$ -мезонов. Однако отождествление частиц и измерение их энергии в работе [1] производилось только для медленных частиц /  $\beta \geq 1,43\beta_c$  /. Поэтому было целесообразно продолжить работу по изучению  $(p-p)$ - и  $(p-n)$ -взаимодействий в условиях, позволяющих проводить измерения многократного рассеяния быстрых частиц.

1. В эмульсионной столке, составленной из слоев эмульсии НИКФИ тип "Р" и облученной внутренним пучком протонов с энергией  $E_p \sim 9$  Бэв на синхрофазotronе Объединенного института ядерных исследований, проводился просмотр вдоль следов первичных протонов двумя способами: обычным и ускоренным, описанным в работе [2]. Было просмотрено 944 м следа и найдено 2647 ядерных взаимодействий и рассеяний на угол  $\Theta \geq 5^\circ$ . Отбор неупругих  $(p-p)$ - и  $(p-n)$ -взаимодействий проводился согласно критериям, описанным в работе [1]. Были отобраны 161 случай /  $p-p$  / - взаимодействий и 94 случая  $(p-n)$ -взаимодействий. Распределение по числу заряженных частиц, приведенное в таблицах 1 и 11, совпадает с данными работы [1].

Таблица 1

Распределение /  $p-p$ -взаимодействий по числу заряженных частиц

Число лучей	2	4	6	8
Число взаимо- действий в %	$46,6 \pm 5,4$	$44,7 \pm 5,3$	$8,1 \pm 2,2$	$0,62 \pm 0,62$

Таблица 11

распределение /  $p-n$  / - взаимодействий по числу заряженных частиц

Число частей	1	3	5	7
Число взаимо- действий %	$35,1 \pm 8,1$	$53,2 \pm 7,5$	$9,6 \pm 3,2$	$2,1 \pm 1,5$

Среднее число заряженных частиц в /  $p-p$  / и /  $p-n$  / - взаимо-  
действиях равно  $3,25 \pm 0,10$  и  $2,58 \pm 0,14$ , соответственно.

3. Для идентификации быстрых частиц проводились измерения многот-  
очкового рассеяния и плотности сгустков  $\delta$  на вторичных следах, имеющих  
угол погружения  $\varphi \leq 3^\circ$ . При определении величины  $p\beta$  учитывалось  
влияние ложного рассеяния, которое было вычислено по измерениям на сло-  
ях первичных протонов в кальциевом слое. Ложное рассеяние не позволяло изме-  
рять величины  $p\beta$ , бóльшие 6 Бэв/с. Для идентификации частиц использова-  
лись кривые зависимости  $\delta/g_0$  от  $p\beta$  для  $\pi$ -мезонов и протонов,  
построенные по данным, приведенным в [3]. Проверка данных [3] проводи-  
лась по измерению плотности сгустков  $\delta$  на следах протонов, имеющих  
энергию 9 и 3 Бэв в одинаковых эмульсионных слоях. Слой облучалась  
протонами этих энергий практически одновременно. Полученные результаты  
согласуются с данными, приведенными в [3] с точностью 2%. Следует  
отметить, что в области пересечения "протонной" и " $\pi$ -мезонной" кривых  
 $1,5 < p\beta < 2,5$  Бэв/с/ идентификация не однозначна<sup>x/</sup>. Угловые и энерге-  
тические распределения частиц из области пересечения, при предположении,  
что они являются  $\pi$ -мезонами, совпадают с такими же распределениями  
для надежно идентифицированных  $\pi$ -мезонов. При предположении, что  
эти частицы являются протонами, их угловые и энергетические распределения  
резко отличаются от распределений для надежно идентифицированных прото-  
нов.

<sup>x/</sup> Размеры этой области выбраны в соответствии с величиной ошибок  
в определении  $p\beta$  и  $\delta/g_0$ .

В качестве иллюстрации можно привести таблицу 111, где в строке I приведены данные по надежно идентифицированным частицам, в строке II прибавлены частицы из области пересечения, при предположении, что они являются  $\bar{\pi}$ -мезонами и в строке III — при предположении, что они протоны.

Таблица 111

	$\bar{E}_{pc}$ мэв	$\bar{\theta}_{pc}$	$\bar{E}_{\pi c}$ мэв	$\bar{\theta}_{\pi c}$
I	$1520 \pm 45$	$/22 \pm 2^{\circ}$	$426 \pm 30$	$/38^{\circ} \pm 3^{\circ}$
II			$442 \pm 23$	$/38 \pm 2^{\circ}$
III	$1360 \pm 45$	$/37 \pm 3^{\circ}$		

Кроме того число частиц, попавших в область пересечения, сильно растет с множественностью. Эти факты делают весьма правдоподобным предположение о том, что большинство частиц из области пересечения являются  $\bar{\pi}$ -мезонами. Поэтому в дальнейшем все распределения приводятся в этом предположении.

3. Для вторичных протонов из  $/p - p /$  взаимодействий было построено угловое распределение в с.п.и. /рис. 1/, которое оказалось резко анизотропным. Угловое распределение  $\bar{\pi}$ -мезонов, приведенное на рис. 2, также анизотропно /см. также [4] /, но значительно шире, чем распределение протонов. Импульсное распределение протонов, летящих в заднюю полусферу в с.п.и., приведено на рис. 3. /Используются данные по задней полусфере, так как среди частиц, летящих в переднюю полусферу, имеются протоны, у которых из-за влияния ложного рассеяния была определена лишь нижняя граница  $P_B$  /. Среднее значение энергии протонов в с.п.и. и среднее значение поперечного импульса равны  $\bar{E}_{pc} = /1520 \pm 45/$  мэв,  $\bar{p}_T = /372 \pm 25/$  мэв/с. Коэффициент неупругости  $K$  и доля энергии, переходящая в  $\bar{\pi}$ -мезоны в л.с., равны  $K = 0,55 \pm 0,03$  и  $E_M/E_0 = 0,38 \pm 0,02$  соответственно. Среднее число протонов на одно взаимодействие равно  $\bar{n}_p = 1,24 \pm 0,28$ , и среднее число заряженных  $\bar{\pi}$ -мезонов  $(\bar{n}_{\pi})_{zop} = 2,01 \pm 0,31$ . Предполагая, что число

нейтральных  $\bar{\pi}$ -мезонов составляет половину от числа заряженных, можно оценить среднее число  $\bar{\pi}^{\pm,0}$ -мезонов на одно взаимодействие:  $\bar{n}_{\bar{\pi}} = 1,5 \overline{(n_{\bar{\pi}})_{\text{пар}}}$   $= 3,02 \pm 0,46$ . Из этих данных легко получить среднюю энергию одного  $\bar{\pi}$ -мезона в с.ц.и.,  $\bar{E}_{\bar{\pi}} = /475 \pm 78/ \text{ Мэв}$ . Средняя энергия  $\bar{\pi}$ -мезона в с.ц.и., полученная непосредственно по измерениям для частиц из задней полусфера, равна  $/432 \pm 32/ \text{ Мэв}$ . Среди частиц, летящих в переднюю полусферу, имеются  $\bar{\pi}$ -мезоны, у которых определены лишь нижняя граница величины  $p_{\beta}$ . Поэтому при вычислении средней энергии для  $\bar{\pi}$ -мезонов, летящих в переднюю и заднюю полусферу, указывается нижняя и верхняя границы :  $/442 \pm 23/ \text{ Мэв} \leq E_{\bar{\pi}} \leq /480 \pm 30/ \text{ Мэв}$ . Верхняя граница  $E_{\bar{\pi}}$  получена при предположении, что  $\bar{\pi}$ -мезоны, для которых определена нижняя граница, имеют максимально возможную энергию для данной множественности. Поперечный импульс  $\bar{\pi}$ -мезонов оказался равным  $/232 \pm 18/ \text{ Мэв/с} \leq p_x \leq /259 \pm 20/ \text{ Мэв/с}$ .

Угловое распределение протонов в с.ц.и. для  $/p-n/$ -взаимодействий приведено на рис. 4. Недостаточность статистики не позволяет сделать сколько-нибудь определенных заключений об асимметрии протонов. Среднее значение энергии протонов в  $/p-n/$ -взаимодействии равно  $/1480 \pm 100/ \text{ Мэв}$  и не отличается от средней энергии протонов в  $/p-p/$ -взаимодействиях.

4. Весьма важным является вопрос об изменении углового и энергетического распределения нуклонов с множественностью. С точки зрения наличия двух типов соударений—"периферических" и "центральных"—следовало бы ожидать более широкое угловое распределение при большой множественности  $/\text{см}^2 \text{ например, } [5]/$ . В дальнейшем для увеличения статистики будут рассмотрены совместные данные по  $/p-p/$  и  $/p-n/$ -взаимодействиям, так как угловые и энергетические характеристики нуклонов в этих взаимодействиях, по-видимому, не различаются. В таблице 1У приведены средние значения импульса, поперечного импульса и угла вылета в с.ц.и. протонов и  $\bar{\pi}$ -мезонов для малой  $/n = 2 - 3 - 4/$  и большой  $/n = 5 - 6 - 7/$  множественности.

Таблица 1У

	$\bar{P}_c$ мэв/с	$\bar{P}_t$ мэв/с	$\theta^\circ$
Множественность	2-3-4	5-6-7	2-3-4
Протоны	1152±90	1028±80	365±35
$\pi^-$ -мезоны	329±30	370±50	244±18 175±20
			39±2 46±5

Приведенные данные показывают, что зависимость углового и импульсного распределений от множественности, если и существует, то весьма слабая <sup>x/</sup>.

Величина  $\alpha = \sqrt{\frac{P_t}{2}}$  характеризует поперечные размеры области взаимодействия. В таблице 1У приведены значения  $\alpha$  для протонов и  $\pi^-$ -мезонов при различной множественности.

Таблица У

	$\alpha$ Мэв/с
Множественность	2 - 3 - 4                                5 - 6 - 7
Протоны	296                                        257
$\pi^-$ -мезоны	198                                        140

Из таблицы У видно, что величина  $\alpha$  мало зависит от множественности.

Вся совокупность изложенных экспериментальных данных свидетельствует, по-видимому, о том, что характер взаимодействия мало изменяется с ростом числа вторичных заряженных частиц. Если исходить из представления о наличии двух типов взаимодействий - "периферических" и "центральных", - то следует заключить, что основная часть экспериментального материала относится к одному из них. Можно, например, считать, что в "центральных" соударениях угловое распределение нуклонов должно быть близко к изотропному. В этом случае с "центральными" соударениями можно предположительно

<sup>x/</sup> Аналогичные результаты были получены в работе [6], посвященной изучению  $(\bar{\pi} - p)$  и  $(\bar{\pi} - n)$  - взаимодействий.

связывать семи- и восьмилучевые события, поскольку в настоящей работе в силу малости статистики об их свойствах практически ничего не известно. Это позволяет оценить верхнюю границу размеров предполагаемого "керна", которая не превышает 0,1-0,2 от радиуса нуклона. С другой стороны, не исключено, что в соответствии с /7/ "периферические" соударения осуществляются очень редко. В этом случае подавляющее большинство экспериментально наблюдаемых взаимодействий следовало бы отнести к "центральным", которые характеризовались бы тем самым анизотропным распределением вторичных частиц.

Авторы рады выразить свою благодарность сотрудникам группы обслуживания ускорителя за помощь при облучении эмульсионной стопки и коллективу лаборантов за просмотр и участие в измерениях. Авторы благодарят также Д.И. Блохинцева и В.И. Векслера за участие в обсуждениях.

Рукопись поступила в издательский отдел  
19 апреля 1960 года.

#### Л и т е р а т у р а

1. Н.П. Богачев, С.А. Бунятов, И.М. Граменицкий, В.Б. Любимов, Ю.П. Мереков, М.И. Подгорецкий, В.Н. Сидоров, Д. Тувдендорж. ЖЭТФ, 37, 1225 /1959/.
2. Б.П. Банник, М.И. Подгорецкий. ПТЭ /в печати/.
3. W.H. Barkas, D.M. Young. UCRL - 2579 (1954).
4. Н.П. Богачев, С.А. Бунятов, Ю.П. Мереков, В.Н. Сидоров, В.Я. Ярба. ЖЭТФ, 38, 1346 /1960/.
5. В.С. Барашенков, В.М. Мальцев, Э.К. Михул. ЖЭТФ, 37, 1484 /1959/.
6. В.А. Беляков, Ван Шутфельд, В.В. Глаголев, Н.Далхажав, Р.М. Лебедев, Н.Н. Мельникова, В.А. Никитин, В.А. Свиридов, В.Петржилка, М.Сук, К.Д. Толстов /в печати/.
7. Д.И. Блохинцев, В.С. Барашенков, Б.М. Барбашов. УФН, 68, 417, /1957/.

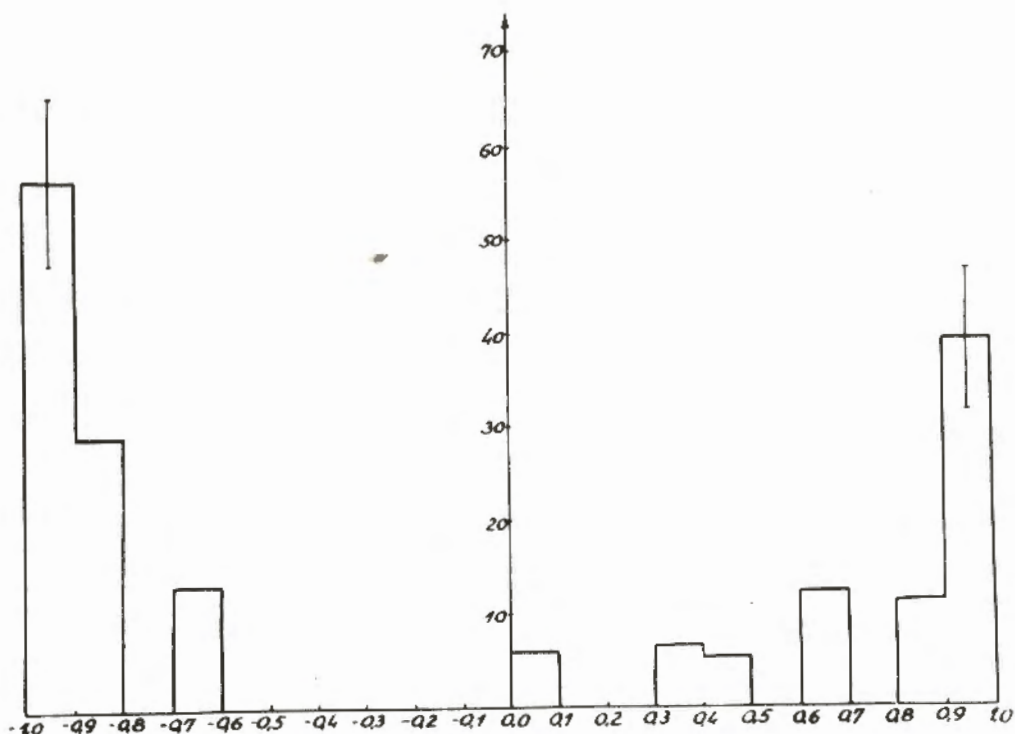


Рис. 1. Угловое распределение протонов в с.п.и. для  $/p-p\bar{p}$ -взаимодействий.

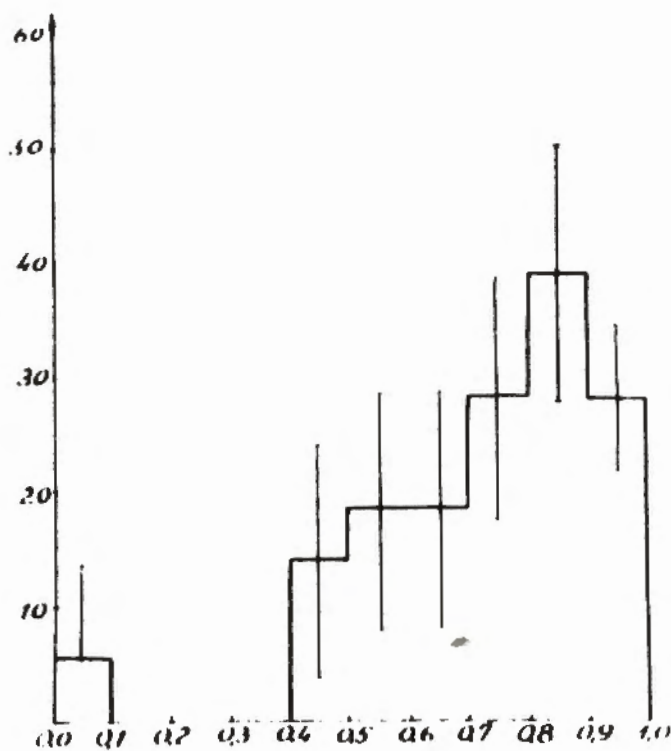


Рис. 2. Угловое распределение  $\pi$ -мезонов в с.ц.и. для / $p$ - $p$ /-взаимодействий.

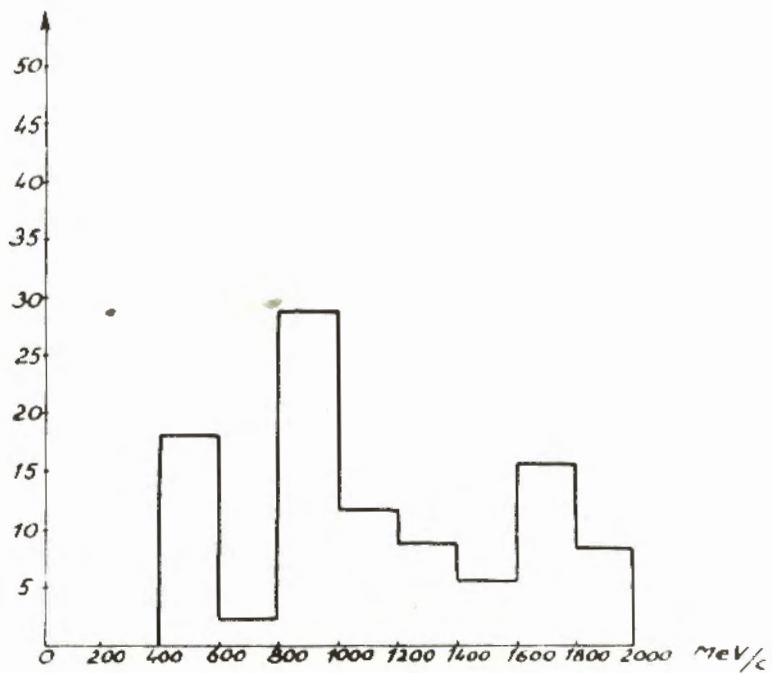


Рис. 3. Импульсное распределение протонов, попадающих в заднюю полусферу в с.ц.и.

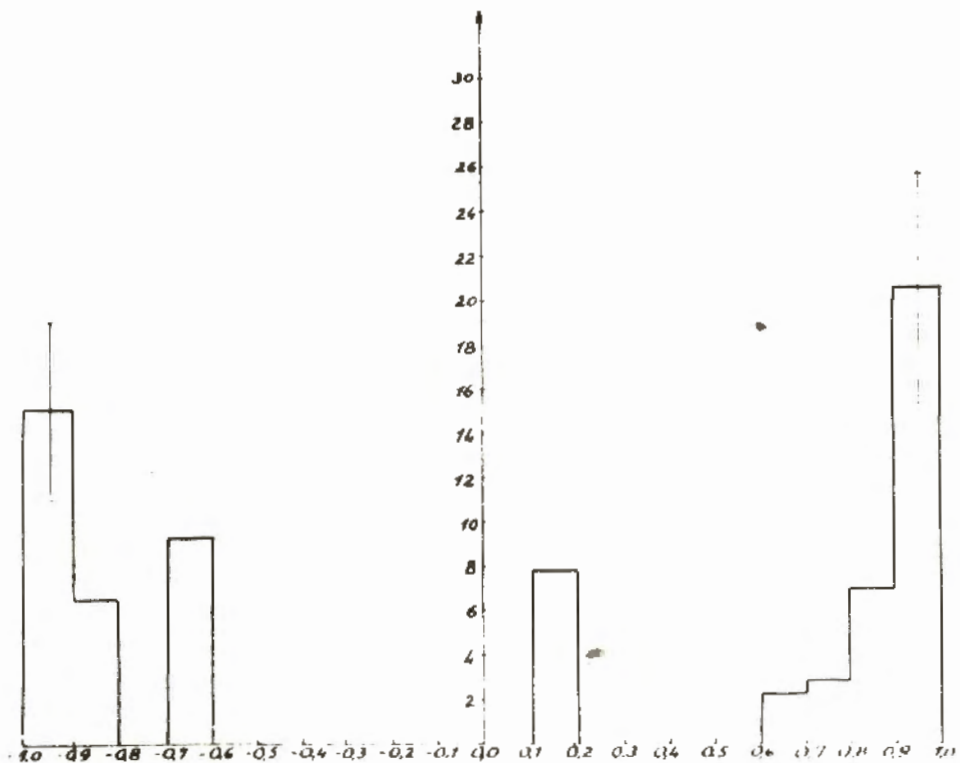


Рис. 4. Угловое распределение протонов в с.п.и. для /  $p-n/-$  взаимодействий.